



## مطالعه میکرومکانیکی رفتار الکترو-الاستیک کامپوزیت‌های حاوی الیاف پیزوالکتریکی با استفاده از روش عددی بدون المان گلر کین

مهدي عين بيگي<sup>۱</sup>, محمد محمدی احمد<sup>۲\*</sup>

۱- دانشجوی کارشناسی ارشد، دانشکده مهندسی مکانیک، دانشگاه صنعتی امیرکبیر، تهران

۲- دانشیار، دانشکده مهندسی مکانیک، دانشگاه صنعتی امیرکبیر، تهران

aghdam@aut.ac.ir

یک مدل میکرومکانیکی دو بعدی، بر پایه فرضیات کرنش صفحه‌ای توسعه یافته برای مطالعه رفتار الکترو-الاستیک کامپوزیت‌های پیزوالکتریکی الیاف با پولاریزاپیون عرضی ارائه می‌شود. کوچکترین عضو تکرار شونده از کامپوزیت به عنوان المان نماینده انتخاب می‌شود که  $1/4$  از سطح مقطع فایبر را با ماتریسی که آن را در برگرفته به نمایش می‌گذارد. این کامپوزیت، حاوی الیاف بلند و مواد از جنس مواد پیزوالکتریکی با خواص ایزوتروپیک عرضی است که فرض می‌شود این الیاف با آرایش مرتعی دون زمینه پلیمری با خواص ایزوتروپیک، در اتصال کامل می‌باشند. همچنین ماتریس از لحاظ پیزوالکتریستیک غیرفعال بوده و فرض می‌شود که اجزای کامپوزیت از رفتار الاستیستیک و الکتریستیک خطی تبعیت می‌کنند. در این پژوهش، روش عددی بدون المان گلر کین برای حل معادلات حاکم بر مسأله به کار گرفته می‌شود. در این روش، برای تقریب متغیر میدان از ساختار توابع شکل حداقل مربعات متوجه استفاده می‌شود. مقایسه نتایج حاضر با سایر تکنیک‌های موجود در مقالات جاپ شده، موافقت خوبی را به نمایش می‌گذارد. نتایج حاکی از این موضوع است که ضربی پیزوالکتریکی<sup>۳۱</sup> در حالت پولاریزاپیون عرضی نسبت به همان ضربی در حالت ماده پیزو خالص، بهبود قابل ملاحظه‌ای را نشان می‌دهد. بررسی‌ها نشان می‌دهد که در حالت پولاریزاپیون عرضی، الیاف با سطح مقطع بیضوی، میزان حساسیت الکتریکی کامپوزیت را برای یک راستای خاص نسبت به نوع دایروی چندین برابر تقویت می‌کنند.

### اطلاعات مقاله

مقاله پژوهشی کامل

دربافت: ۲۲ دی ۱۳۹۲

پذیرش: ۰۷ اسفند ۱۳۹۲

ارائه در سایت: ۲۲ تیر ۱۳۹۳

کلید واژگان:

مدل میکرومکانیکی

روش بدون المان گلر کین

کامپوزیت‌های پیزوالکتریکی

خواص الکترو-الاستیک

## A micromechanical study on the electro-elastic behavior of piezoelectric fibrous composites using element free Galerkin method

Mahdi Eynbeygi, Mohammad Mohammadi Aghdam\*

Department of Mechanical Engineering, Amirkabir University of Technology, Tehran, Iran  
\* P.O.B. 15875-4413 Tehran, Iran, aghdam@aut.ac.ir

### ARTICLE INFORMATION

Original Research Paper

Received 12 January 2014

Accepted 26 February 2014

Available Online 13 July 2014

#### Keywords:

Micromechanical Model  
Element Free Galerkin Method  
Piezoelectric Fibrous Composites  
Electro-Elastic Properties

### ABSTRACT

A two dimensional generalized plane strain micromechanical model is developed to study electro-elastic behavior of piezoelectric fiber reinforced composites (PFRC) with transverse polarization. A small repeating area of the composite, representing a quarter of fiber surrounded by matrix is considered as representative volume element (RVE). The composite system consists of long parallel piezoelectric fibers with transversely isotropic properties and perfectly bounded to the isotropic matrix in a square array arrangement. In addition, the constituents are assumed to have both linear elastic and electrical behavior, whereas, the matrix is piezoelectrically passive. The element free Galerkin method is employed to obtain solution for the governing system of partial differential of equations. In this method, the Moving Least Square shape functions are used to approximate the field variable at arbitrary point. Comparison of the presented results with other techniques available in the literature reveals good agreement. It is demonstrated that the piezoelectric coefficient “ $e_{31}$ ” in the transverse polarization is considerably improved in comparison with corresponding coefficient of pure piezoelectric material. Furthermore, as a result, it is found that fibers with elliptical cross section may enhance the amount of electrical sensitivity of PFRC several times than circular fibers in a specific direction.

حجمی آن‌ها و قیدهای متقابل بین فازها، که مربوط به هندسه میکروساختاری است، تعیین می‌شود. خواص تکلایدهای کامپوزیتی را می‌توان با استفاده از روش میکرومکانیکی پیش‌بینی کرد و سپس از این خواص در تحلیل‌های مکرومکانیکی استفاده نمود. در این پژوهش، مطالعه میکرومکانیکی کامپوزیت‌هایی مورد بررسی قرار می‌گیرد که با الیاف

در روش میکرومکانیک، مطالعه رفتار مواد به گونه‌ای است که اثر متقابل مواد تشکیل‌دهنده در مقیاس میکروسکوپیک بررسی می‌شود. در این روش‌ها از مدل‌هایی استفاده می‌شود که مشخصات ذاتی الیاف و زمینه را حفظ می‌کند و خواص کل ماده مركب بر حسب خواص اجزای تشکیل‌دهنده، نسبت

### ۱- مقدمه

برای ارجاع به این مقاله از عبارت ذیل استفاده نمایید:

M. Eynbeygi, M. Mohammadi Aghdam, A micromechanical study on the electro-elastic behavior of piezoelectric fibrous composites using element free Galerkin method, *Modares Mechanical Engineering*, Vol. 14, No. 6, pp. 175-184, 2014 (In Persian)

کلی کامپوزیت‌ها را در بسیاری از شرایط درست پیش‌بینی کنند، اما لحاظ کردن رفتارهای موضعی تنش و کرنش در روش‌های عددی، می‌تواند پیش-بینی جامع‌تری از مدل را مورد بررسی قرار دهد. برخی از پژوهشگران روش المان محدود را، که یک ابزار عددی راجح و متدال حل مسائل فیزیکی است، برای بررسی اثر شکل فایبر در خواص الکترومکانیکی کامپوزیت‌های پیزوالکتریکی به کاربستند [۹،۱۰]. گوپتا و ون کاتش [۹] یک مدل المان-محدود سبدی را برای مطالعه رفتار الکترومکانیکی ۵ نوع مختلف از کامپوزیت‌های پیزوالکتریکی به کار گرفتند که این ۵ نوع شامل: کامپوزیت‌های ذره‌ای<sup>۹</sup>، فایبر کوتاه<sup>۱۰</sup>، فایبر طویل<sup>۱۱</sup>، ورقه‌ای<sup>۱۲</sup> و شبکه‌ای<sup>۱۳</sup> بودند. علاوه براین، آن‌ها در [۸]، به کمک روش المان محدود، رفتار کلی کامپوزیت‌های پیزوالکتریکی الیافی را در حالت فعل بودن هر دو جزء تشکیل‌دهنده کامپوزیت از لحاظ پیزوالکتریسیته، بررسی کردند. از دیگر کارهایی که در زمینه تحلیل رفتار کامپوزیت‌های پیزوالکتریکی الیافی به کمک روش‌های عددی انجام شده است، می‌توان به پژوهش لی [۱۰] در خصوص بررسی اثر میکروطبایی موجود در زمینه‌های پلیمری و اثر آن بر رفتار ضرایب مؤثر الکترو-الاستیک کامپوزیت‌های پیزوالکتریکی و پژوهش دای [۱۱] در بررسی اثر هسته‌های کربنی و نقش آن در تقویت الیاف پیزوالکتریکی و اثراً آن بر ضرایب مؤثر الکترو-الاستیک کامپوزیت اشاره کرد. آن‌ها بیان کردند که هدف از افزودن کربن به الیاف توخالی پیزوالکتریکی، جلوگیری از شکسته شدن این الیاف و به عبارتی مقابله با طبیعت ترد مواد پیزوالکتریکی بوده است.

در سال‌های اخیر روش‌های عددی بدون المان<sup>۱۴</sup>، توجه ویژه‌ای را در حل و شبیه‌سازی مسائل فیزیکی به خود اختصاص داده‌اند [۱۲-۱۶]. فordan قید المان در ساختار این روش‌های عددی، ویژگی منحصر به فرد و قابل ملاحظه‌ای را به آن‌ها بخشیده است؛ به‌گونه‌ای که بسیاری از مشکلات تولید المان در هندسه‌های پیچیده و یا در مسائلی که به دلیل تغییرشکل‌های بزرگ نیازمند تولید شیکه‌های متواالی در حین حل مسئله هستند، از بین می‌رود. اخیراً، احمدی [۱۵] روش بدون المان مبتنی بر انتگرال موضعی را در تحلیل میکرومکانیکی بارگذاری‌های مکانیکی و حرارتی کامپوزیت‌الیافی، به کار گرفت. در پژوهش حاضر، یک مدل میکرومکانیکی براساس روش عددی بدون المان گلرکین<sup>۱۶</sup>، برای تحلیل خواص الکترو-الاستیک کامپوزیت‌های پیزوالکتریکی الیافی تکجهته مورد بررسی قرار گرفته است. روش بدون المان گلرکین نخستین بار در سال ۱۹۹۴ میلادی توسط بلیچکو و همکارانش [۱۷] ارائه شد. در میان روش‌های متعدد بدون المان، روش بدون المان گلرکین نرخ همگرایی بالا و نتایج دقیق‌تری را ارائه می‌دهد [۱۷-۱۹]. در این مطالعه، با کارگیری یک مدل عددی دقیق بر مبنای روش بدون المان گلرکین، سعی شده است تا با لحاظ کردن اثرات موضعی میدان‌های تنش، تحلیلی کامل تر و واقع‌گرایانه‌تری از رفتار میکرومکانیکی کامپوزیت‌های پیزوالکتریکی الیافی نمایش داده شود که ضمن آن، اثر شکل الیاف، در رفتار کامپوزیت‌های الیافی پیزوالکتریکی بررسی و تحلیل خواهد شد.

## ۲- مدل میکرومکانیکی

در حالت کلی، توزیع الیاف در سطح مقطع کامپوزیت‌های الیافی، به صورت تصادفی می‌باشد؛ شکل ۱-الف. اما معمولاً در مدل‌سازی میکرومکانیکی فرض

پیزوالکتریکی تقویت شده‌اند. مواد پیزوالکتریک که به عنوان یکی از انواع مواد هوشمند شناخته می‌شوند، دارای یک ارتباط متقابل مکانیکی و الکتریکی هستند که در اثر اعمال بار مکانیکی، از خود خواص الکتریکی بروز داده و در مقابل بارگذاری-های الکتریکی نیز، اثرات مکانیکی را به نمایش می‌گذارند. از آن‌جا که مواد پیزوالکتریک قادر به کوپل انرژی‌های مکانیکی و الکتریکی به یکدیگر هستند، لذا، از آن‌ها به عنوان یک انتخاب مناسب در عملکرها<sup>۱</sup> و حسگرها<sup>۲</sup> یاد می‌شود [۱۱].

تلاش‌های زیادی در جهت کشف خواص کامپوزیت‌های پیزوالکتریکی الیافی تکجهته انجام شده که نتیجه آن، ارائه مطالعات متعددی با رویکرد میکرومکانیکی در بیان رفتارهای کلی و محلی آن‌هاست. در مقالات چاپ-شده، روش‌های تحلیلی و عددی، مدل‌های گوناگونی را در بیان رفتار کامپوزیت‌های پیزوالکتریکی الیافی تحت بارهای حرارتی، الکتریکی و مکانیکی مطرح کرده‌اند. اثر راستای پولاریزاسیون بر خواص کامپوزیت‌های پیزوالکتریکی الیافی، موضوعی بود که در کارهای محققه همچون، ادگارد [۲]، گوپتا و همکارانش [۳] مالیک و ری [۴]، ری [۵]، کومار و چاکرabortی [۶] و لوپز-لوپز [۷] بررسی شد. در این بین، ادگارد [۲] ضمن ارائه یک مدل تحلیلی که در واقع براساس تعمیمی از مدل‌های خودسازگار<sup>۳</sup> و موري-تاناکا<sup>۴</sup> بود، به تحلیل خواص مؤثر الکترو-الاستیک کامپوزیت‌های پیزوالکتریکی الیافی با پولاریزاسیون محوری و کامپوزیت‌های پیزوالکتریکی ذره‌ای پرداخت. مدل ادگارد، در حالی که به سادگی مدل موری-تاناکا بود، اما در بعضی موارد نتایج دقیق‌تری را پیش‌بینی می‌کرد. مالیک و ری [۴] بر مبنای روش سلولی<sup>۵</sup> و روش مقاومت مصالح<sup>۶</sup> به پیش‌بینی ضرایب الکترو-الاستیک کامپوزیت‌های پیزوالکتریکی در حالت پولاریزاسیون عرضی پرداختند. آن‌ها برای نخستین بار نشان دادند، هنگامی که الیاف پیزوالکتریکی به صورت عرضی قطبیده شوند، خواص مؤثر پیزوالکتریکی کامپوزیت براساس نتایج آن‌ها می‌باشد. طور قابل توجهی نسبت به همان ضرایب در حالت ماده پیزوالکتریک خالص تقویت شود. آن‌ها پیشنهاد کردند که به منظور اعمال میدان الکتریکی عرضی یکنواخت در راستای ضخامت الیاف، نیاز به صفحات الکتروودی هست که درون کامپوزیت، به صورت موازی در بالا و پایین الیاف چیده شوند. همچنین، ری [۵] روش مکانیک محیط‌های پیوسته را برای تحلیل این کامپوزیت‌های پیزوالکتریکی به کار برد و نتایجی تقریباً منطبق بر روش مقاومت مصالح بدست آورد. اخیراً کومار و چاکرabortی [۶] بر پایه روش مقاومت مصالح، خواص کوپل شده حرارتی-الکتریکی این کامپوزیت‌های پیزوالکتریکی را مورد تحلیل قرار دادند. آن‌ها با توجه ویژه به بحث حرارتی این کامپوزیت‌ها، تغییرات ضرایب حرارتی<sup>۷</sup> و پیزوالکتریکی<sup>۸</sup> مؤثر این کامپوزیت‌ها را نسبت به کسر حجمی‌های مختلف ارائه دادند. همچنین با بیان واپستگی بین مدول الاستیسیته زمینه پلیمری ایزوتروپ و خواص مؤثر حرارتی و الکتریکی این کامپوزیت‌ها، نشان دادند که استفاده از پلیمرهای نرم‌تر، می‌توانند عملکرد ضرایب حرارتی و الکتریکی کامپوزیت‌های پیزوالکتریکی با پولاریزاسیون عرضی را بهبود بخشنند. با این که مدل‌های تحلیلی در دیدگاه میکرومکانیکی می‌توانند خواص

1- Actuator

2- Sensor

3- Self-consistent

4- Mori-Tanaka

5- Method of Cells (MOC)

6- Strength of Materials

7- Thermal Coefficient

8- Pyroelectric Coefficient

در این تحلیل، یک دامنه دو بعدی در نظر گرفته می‌شود که در آن محور  $x_1$  در راستای الیاف قرار گرفته و  $x_2$  و  $x_3$  محورهای صفحه‌ای عمود بر راستای الیاف هستند. پیرو فرض کرنش صفحه‌ای توسعه یافته<sup>۵</sup>، خواص کامپوزیت در راستای محور  $x_1$  تغییر نمی‌کند و نسبت به صفحه  $x_2$ - $x_3$  دارای تقارن است. علاوه بر این، در فرض کرنش صفحه‌ای توسعه یافته، کرنش در راستای  $x_1$ ، یعنی کرنش در راستای الیاف، یک مقدار ثابت در نظر گرفته می‌شود.

بنابراین میدان جابه‌جایی، در فرض کرنش صفحه‌ای توسعه یافته و در حالت بارگذاری و عکس‌العمل نرمال، به صورت روابط (۱) ارائه می‌شود [۱۶]:

$$u_1 = \varepsilon_0 x_1, \quad u_2 = u_2(x_2, x_3), \quad u_3 = u_3(x_2, x_3) \quad (1)$$

که  $\varepsilon_0$  مؤلفه جابه‌جایی مرتبط با مختصه  $x_1$  بوده و  $\varepsilon_0$  معرف کرنش ثابت محوری می‌باشد. همچنین، روابط سینماتیک براساس میدان جابه‌جایی (۱)، بافرض الاستیسیته خطی به صورت روابط (۲) نوشته می‌شوند [۱۶]:

$$\begin{aligned} \varepsilon_{11} &= \frac{\partial u_1}{\partial x_1} = \varepsilon_0, \quad \varepsilon_{22} = \frac{\partial u_2}{\partial x_2}, \quad \varepsilon_{33} = \frac{\partial u_3}{\partial x_3} \\ \varepsilon_{23} &= \frac{\partial u_3}{\partial x_2} + \frac{\partial u_2}{\partial x_3}, \quad \varepsilon_{13} = \frac{\partial u_1}{\partial x_3} + \frac{\partial u_3}{\partial x_1} = 0, \quad \varepsilon_{12} = \frac{\partial u_1}{\partial x_2} + \frac{\partial u_2}{\partial x_1} = 0 \end{aligned} \quad (2)$$

همان‌طور که ملاحظه می‌شود، تحت شرایط کرنش صفحه‌ای توسعه یافته، کرنش‌های برشی برون صفحه‌ای صفر هستند.

در این پژوهش به تحلیل کامپوزیت‌های پیزوالکتریکی الیافی زمینه پلیمری که در راستای عرضی (راستای ضخامت)  $x_3$  پولاریزه شده‌اند، پرداخته می‌شوند. به دلیل این که این الیاف دارای ضخامت بسیار کوچکی هستند، می‌توان به طور قابل قبولی فرض کرد که یک میدان الکتریکی یکنواختی درون سلول واحد برقرار است [۶].

### ۳- حل مسئله

#### ۳-۱- معادلات حاکم بر مواد پیزوالکتریکی

یک دامنه دو بعدی،  $\Omega$ ، را مطابق شکل ۱- ب در نظر بگیرید که در یک تعادل الکتریکی و مکانیکی قرار دارد. برای مواد پیزوالکتریکی در غیاب نیروهای حجمی، فرم تضعیف شده<sup>۶</sup> تعادل مکانیکی [۲۲، ۹] به صورت زیر بیان می‌شود:

$$\int_{\Omega} (\delta \varepsilon^T \sigma) d\Omega + \int_{\Omega} (\delta \varepsilon_0 \sigma_{\text{axial}}) d\Omega - \int_{\Omega} \delta u^T \bar{t} d\Gamma - \int_{\Omega} \delta \varepsilon_0 t_{\text{axial}} d\Omega = 0 \quad (3)$$

که در رابطه بالا،  $\Omega$  به عنوان دامنه مسئله در صفحه  $x_2$ - $x_3$  و  $\sigma$ ،  $\varepsilon$  و  $\bar{t}$  به ترتیب، بردار کرنش صفحه‌ای، بردار تنش صفحه‌ای و بردار ترکشن درون صفحه‌ای می‌باشند. علاوه بر این،  $\sigma_{\text{axial}}$  و  $t_{\text{axial}}$  نیز به ترتیب بیان گر تنش محوری و ترکشن محوری می‌باشند. بنابراین با فرض کرنش صفحه‌ای توسعه یافته، مسئله سه بعدی الاستیسیته به یک مسئله دو بعدی توسعه یافته تبدیل خواهد شد که هزینه‌های محاسباتی را بسیار کاهش خواهد داد.

حالت الکترواستاتیک مواد پیزوالکتریکی نیز دارای رفتار مشابه رفتار مکانیکی هستند؛ از این نقطه نظر، فرم تضعیف شده تعادل مکسول<sup>۷</sup> [۲۲] در غیاب دانسیته بارالکتریکی حجمی به صورت رابطه (۴) نوشته می‌شود.

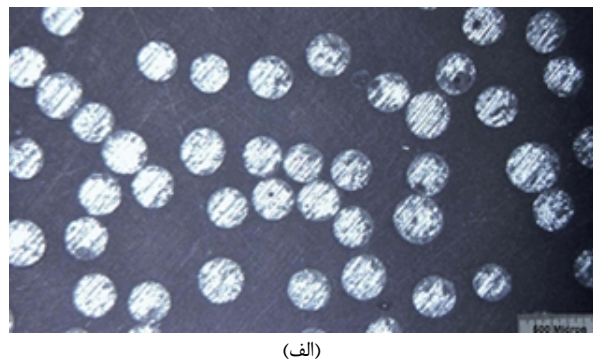
$$\int_{\Omega} \delta E_3 D_3 d\Omega - \int_{\Omega'} \delta E_3 q_3 d\Omega = 0 \quad (4)$$

در رابطه (۴)،  $E_3$ ،  $D_3$  و  $q_3$  به ترتیب، مؤلفه‌های میدان الکتریکی، جابه‌جایی الکتریکی و دانسیته بارالکتریکی در راستای محور پولاریزاسیون را نشان می‌دهند.

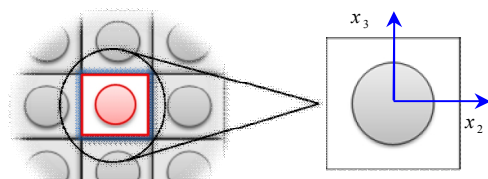
می‌شود که الیاف دارای شکل یکسان بوده و به صورت منظم در یک آرایش مربعی<sup>۸</sup> یا آرایش شش ضلعی<sup>۹</sup> در کنار هم چیده شده‌اند [۲۰]. برای کاهش حجم محاسبات، کوچکترین جزء تکرار شونده از سطح مقطع کامپوزیت، متناسب با نوع بارگذاری و شرایط مزی مسئله، به عنوان المان نماینده<sup>۱۰</sup> کامپوزیت در نظر گرفته می‌شود که در تحلیل‌های میکرومکانیکی فرض می‌گردد، رفتار سازه با استفاده از مدل سازی صحیح المان نماینده قابل تعمیم، تحلیل و بررسی خواهد بود [۲۱، ۲۰]. در این جزء نماینده، هم ماتریس و هم فایبر سهیم هستند و خواص آن‌ها متناسب با کسر حجمی‌شان، در خواص معادل کامپوزیت تأثیرگذار خواهد بود.

در پژوهش حاضر بر بارگذاری‌های نرمال و عکس‌العمل‌های نرمال، یعنی مُد نرمال سنسوری و عملگری<sup>۱۱</sup>، کامپوزیت‌های پیزوالکتریکی پرداخته می‌شود. در مُد نرمال سنسوری، ماده پیزوالکتریکی تحت یک بارگذاری نرمال یا جابه‌جایی نرمال در هر یک از سه راستای مختصات اصلی ماده قرار داده می‌شود که باعث رخداد یک میدان الکتریکی در راستای پولاریزاسیون می‌گردد و در مُد نرمال عملگری، ماده پیزوالکتریکی تحت یک میدان الکتریکی در راستای محور پولاریزاسیون قرار می‌گیرد که نتیجتاً، ماده در هر یک از سه راستا از خود جابه‌جایی نرمال نشان می‌دهد [۲۲].

در این پژوهش، به منظور بررسی خواص مؤثر الکترو-الاستیک چندلایه حاوی الیاف پیزوالکتریکی، ترکیبی از بارگذاری الکتریکی در راستای محور پولاریزاسیون (راستای  $x_3$ ) و بارگذاری‌های نرمال مکانیکی در هر یک از سه راستای مختصات اصلی ماده، برحسب این که محاسبه کدام ضریب مورد نظر است، انجام می‌شود. بنابراین منطقی است که در مُد نرمال برای کاهش حجم محاسبات و همچنین افزایش دقت حل مسئله، ربع (یک چهارم) المان نماینده نشان داده شده در شکل ۱- ب به عنوان ناحیه محاسباتی نهایی در نظر گرفته شود؛ بهطوری که مبدأ محورهای مختصات در مرکز الیاف الصاق شده و خواص تقارن در مزهای مورد نظر اعمال می‌گردد.



(الف)



(ب)

شکل ۱ الف- چینش واقعی الیاف در سطح مقطع کامپوزیت [۲۲] ب- مدل المان نماینده و تعمیم آن در فضای دوبعدی

1- Square Array

2- Hexagonal Array

3- Representative Element

4- Normal Mode Sensing and Actuation

که تابعی از مختصات  $x$  است.

این ضرایب مجھول طوری محاسبه خواهد شد که مجموع مربعات خطای وزن دار، مینیمم شود. بنابراین، نرم دوم خطای وزن دار به صورت رابطه (۸) بیان می‌شود.

$$J = \sum_{i=1}^n \hat{w}(x - x_i) \left( P^T(x_i) a(x) - u_i \right)^2 \quad (8)$$

به طوری که در عبارت بالا،  $n$  تعداد گره‌های درون دامنه موضعی  $x$  را نشان می‌دهد و  $\hat{w}(x - x_i)$  تابع وزن مسأله بوده که با فاصله نقطه  $x$  از گره واقع در محل  $x_i$  متناسب است. همچنین در رابطه بالا،  $u_i$  پارامتر گره‌ای متغیر میدان را در محل گره  $i$  نشان می‌دهد.

تابع شکل حداقل مربعات متحرک در صورتی که توابع وزنی مناسبی انتخاب شوند، در کل دامنه پیوسته خواهد بود [۲۴]. مرتبه پیوستگی توابع شکل حداقل مربعات متحرک، ارتباط مستقیمی با مرتبه چندجمله‌ای‌های پایه و مرتبه توابع وزنی مورد استفاده دارد. در این پژوهش از توابع پایه خطی و منحنی مرتبه سوم به عنوان توابع وزنی استفاده شده است [۲۴]:

$$P^T(x) = \begin{pmatrix} 1 & x & y \end{pmatrix}$$

$$\hat{w}(x - x_i) = w_i(x) = \begin{cases} \frac{2}{3} - 4\bar{r}_i^2 + 4\bar{r}_i^3 & \bar{r}_i \leq 0.5 \\ \frac{4}{3} - 4\bar{r}_i + 4\bar{r}_i^2 - \frac{4}{3}\bar{r}_i^3 & 0.5 \leq \bar{r}_i \leq 1 \\ 0 & \bar{r}_i > 1 \end{cases} \quad (9)$$

در رابطه بالا،  $\bar{r}_i$  یک پارامتر بی بعد است که به صورت رابطه (۱۰) تعریف می‌شود.

$$\bar{r}_i = \frac{d_i}{r_w} = \frac{\|x - x_i\|_2}{r_w} \quad (10)$$

که  $r_w$  ساع ناحیه پشتیبان موضعی نقطه  $x$  تعریف می‌شود. همچنین،  $d_i = \|x - x_i\|_2$  نرم دوم بردار  $x - x_i$  بوده که بیان گر فاصله گره  $i$  تا نقطه  $x$  می‌باشد.

با مینیمایز کردن فانکشنال (۸)، ضرایب مجھول  $a(x)$  محاسبه شده و با قرار دادن آن در رابطه (۷)، شکل دیگری از این رابطه، براساس توابع شکل حداقل مربعات متحرک، به صورت رابطه (۱۱) بیان می‌شود.

$$u^h(x) = \Phi^T(x) U_s \quad (11)$$

که  $U_s$  بردار پارامتر گره‌ای متغیر میدان و  $\Phi(x)$  بردار توابع شکل حداقل مربعات متحرک بوده و به صورت رابطه (۱۲) نوشته می‌شود.

$$\Phi^T(x) = \langle \phi_1(x) \dots \phi_n(x) \rangle = P^T(x) \cdot A^{-1}(x) \cdot B(x) \quad (12)$$

در رابطه (۱۲)، ماتریس  $A(x)$  و  $B(x)$  مطابق زیر تعریف می‌گردند:

$$A(x) = \sum_{i=1}^n \hat{w}(x - x_i) P(x_i) P^T(x_i) \quad (13)$$

$$B(x) = \langle \hat{w}(x - x_1) P(x_1) \dots \hat{w}(x - x_n) P(x_n) \rangle \quad (14)$$

یکی از ویژگی‌های حائز اهمیت توابع شکل حداقل مربعات متحرک، فقدان خاصیت دلتای کرانیکر است [۱۷]:

$$\phi_i(x_j) \neq \delta_{ij} \quad (15)$$

در بیان ظاهری، خاصیت دلتای کرانیکر موجب می‌شود که تابع شکل هر گره در محل خود آن گره برابر مقدار واحد و در محل سایر گره‌های موجود در ناحیه پشتیبان، برابر صفر باشد. اما این خاصیت جلوه واقعی خود را در اعمال شرایط مرزی ضروری آشکار می‌کند؛ به طوری که در فقدان این خاصیت، شرایط مرزی ضروری به صورت مستقیم<sup>۳</sup> قابل اعمال نبوده و تلاش مضاعفی را می‌طلبد. از جمله رایج‌ترین این روش‌ها، روش پنالتی [۲۴، ۱۹] و روش

روابط متسلسله برای مواد دارای خاصیت پیزوالکتریسیته که در راستای محور  $X_3$  پولاریزه شده‌اند [۲۲]، با فرض کرنش صفحه‌ای توسعه یافته، الاستیسیته خطی و پیزوالکتریسیته خطی به صورت روابط (۵) بیان می‌شوند.

$$\sigma = C\varepsilon + \hat{C}\varepsilon_0 - \hat{e}\hat{E}_3, \quad \sigma_{11} = \hat{C}^T\varepsilon + c_{11}\varepsilon_0 - e_{31}E_3$$

$$D_3 = \hat{e}^T\varepsilon + e_{31}\varepsilon_0 + \kappa_{33}E_3 \quad (5)$$

در روابط (۵)، رابطه‌های (۶) برقرارند.

$$\sigma = \begin{pmatrix} \sigma_{22} & \sigma_{33} & \sigma_{23} \end{pmatrix}^T, \quad \varepsilon = \begin{pmatrix} \varepsilon_{22} & \varepsilon_{33} & \varepsilon_{23} \end{pmatrix}^T$$

$$C = \begin{pmatrix} c_{22} & c_{23} & 0 \\ c_{23} & c_{33} & 0 \\ 0 & 0 & c_{44} \end{pmatrix}, \quad \hat{C} = \begin{pmatrix} c_{12} & c_{13} & 0 \end{pmatrix}^T$$

$$\hat{e} = \begin{pmatrix} e_{32} & e_{33} & 0 \end{pmatrix}^T \quad (6)$$

در روابط (۶)،  $c_{ij}$ ،  $e_{ij}$  و  $\kappa_{ij}$  به ترتیب، ضرایب الاستیک، ضرایب پیزوالکتریک و دی‌الکتریک ماده را نشان می‌دهند.

### ۲-۳- روش عددی بدون المان گلرکین

روش المان محدود، به عنوان یکی از روش‌های عددی قدرتمند حل معادلات دیفرانسیل با مشتق‌ات جزئی، در گستره وسیعی از مسائل خطی و غیرخطی به کار می‌رود. در دسترس بودن این روش در غالب بسته‌های نرم‌افزاری تجاری، کاربرهای بسیاری را در سراسر دنیا به خود جذب کرده است، اما با این حال، روش المان محدود محدودیت‌هایی را نیز به همراه دارد؛ هزینه بالا و صرف زمان‌های طولانی برای تولید شبکه<sup>۱</sup> در مدل‌های پیچیده، یکی از معایب این روش است که در آنالیزهای هشمندی که نیاز به تجدید شبکه در حین فرایند حل دارند، این مشکل خیلی برجسته خواهد شد [۱۹]. علاوه بر این، مشتقات توابع شکل در مرز بین المان‌ها، عموماً، ناپیوستگی‌هایی را از خود به نمایش می‌گذارند [۲۴، ۱۹]. بنابراین نیاز به یک پس‌پردازش همچون تصویرسازی برمنای نرم دوم برای نمایش کانتورهایی همچون کانتور تنش وجود دارد [۱۷].

مطابق با تعریف لیو و همکارانش [۱۹]، روش‌های عددی بدون المان، دستگاهی از معادلات گسسته شده را برای حل فیزیک حاکم بر مسائله ایجاد می‌کنند که دامنه این مسائله نیاز به هیچ‌گونه شبکه‌بندی ندارد و تنها توزیعی از گره‌های محاسباتی در دامنه مسائله و روی مرزها شبکل داده می‌شود. هیچ‌گونه قیدی روی گره‌ها تحت عنوان المان وجود ندارد و به دلیل بهره‌گیری از توابع شکلی با پیوستگی‌های مرتبه بالا، کانتورهای تنش و کرنش بدون هیچ‌گونه پس‌پردازشی به نمایش گذاشته می‌شوند.

### ۲-۴- ساختار توابع شکل حداقل مربعات متحرک<sup>۲</sup>

متغیر  $(u)$ ، به عنوان مثال میدان جابه‌جایی در یک مسائله الاستیسیته، به عنوان تابع اسکالر و مجھول مسائله در نظر گرفته می‌شود که در دامنه  $\Omega$  تعریف شده است. با استفاده از تقریب حداقل مربعات متحرک،  $u^h(x)$  از متغیر میدان  $(u)$  در مکان  $x$  خواهد بود که به صورت رابطه (۷) ارائه می‌شود [۱۹-۱۷].

$$u(x) \approx u^h(x) = \sum_{i=1}^m p_i(x) \cdot a_i(x) = P^T(x) \cdot a(x) \quad (7)$$

که در رابطه بالا  $P(x)$  بردار شامل تک‌جمله‌ای‌های پایه و  $m$  تعداد این تک جمله‌ای‌ها را نشان می‌دهد. همچنین  $(a(x))$  بردار ضرایب چندجمله‌ای بوده

1- Mesh Generation

2-Moving Least Square

$$\begin{aligned} \text{فرم گسسته شده رابطه تعادل الکترواستاتیکی (۲۱) به صورت رابطه (۲۱) ارائه می‌شود.} \\ \sum_{l=1}^N \delta E_3 \left( \int_{\Omega} \hat{e}^T B_l d\Omega \right) u_l + \delta E_3 \left( \int_{\Omega} e_{31} d\Omega \right) \varepsilon_0 \\ + \delta E_3 \left( \int_{\Omega} \kappa_{33} d\Omega \right) E_3 + \delta E_3 \left( \int_{\Omega} q_3 d\Omega \right) = 0 \end{aligned} \quad (21)$$

شکل فشرده رابطه (۲۱) مطابق رابطه (۲۲) بازنویسی می‌شود.

$$\delta E_3 \left( F_2^T U + X_2 \varepsilon_0 + X_3 E_3 + Q_3 \right) = 0 \quad (22)$$

که در رابطه (۲۲) روابط (۲۳) برقرارند.

$$X_3 = \int_{\Omega} \kappa_{33} d\Omega, \quad Q_3 = \int_{\Omega} q_3 d\Omega \quad (23)$$

از آن جا که در رابطه (۱۹) و (۲۲)،  $\delta U$ ،  $\delta \varepsilon_0$  و  $\delta E_3$  دلخواه هستند، عبارات داخل پرانتر می‌باشد برابر صفر باشند تا روابط همواره ارضی شوند. بنابراین، فرم نهایی سیستم معادلات خطی حاصل از منفصل‌سازی معادلات تعادل الکترو-الاستیک، به صورت رابطه (۲۴) ارائه می‌شود.

$$\begin{cases} KU + F_1 \varepsilon_0 - F_2 E_3 - f_t = 0 \\ F_1^T U + X_1 \varepsilon_0 - X_2 E_3 - f_{\text{axial}} = 0 \\ F_2^T U + X_2 \varepsilon_0 + X_3 E_3 + Q_3 = 0 \end{cases} \quad (24)$$

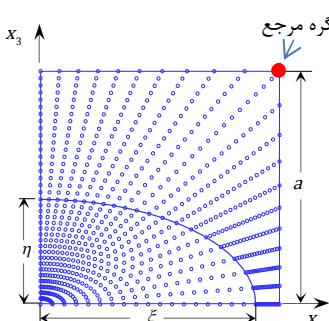
لازم به ذکر است که میدان الکتریکی ثابت  $E_3$  و کرنش محوری ثابت  $\varepsilon_0$  در کنار مؤلفه‌های جابه‌جایی گره‌ها، به عنوان مجهولات مسئله، محاسبه خواهند شد.

### ۳-۲-۳- اعمال شرایط مرزی

ملاحظات صحیح و درستی می‌باشد در مدل سلول واحد مسئله در نظر گرفته شود تا تقارن و تکرارپذیری<sup>۱</sup> سلول واحد برای ایجاد شکل کلی کامپوزیت دچار خلل نگردد. بنابراین همان‌طور که در شکل ۲ ملاحظه می‌شود، یک گره مرجع به‌گونه‌ای تعریف می‌شود که جابه‌جایی عمودی گره‌های واقع در وجه بالایی سلول واحد و جابه‌جایی افقی گره‌های واقع در وجه راست مدل، به ترتیب، مساوی با جابه‌جایی عمودی و افقی این گره مرجع در نظر گرفته می‌شوند تا مرزها دچار اعوام نشده و به حالت صاف<sup>۲</sup> باقی بمانند. علاوه براین، برای وجود پایین و چپ مدل شرایط تقارن در نظر گرفته می‌شود. مطالب ارائه شده در قالب روابط (۲۵) ارائه می‌شوند [۲۶].

$$u_2(0, x_3) = 0 \quad u_2(a, x_3) = a\bar{\varepsilon}_{22} \quad u_3(x_2, 0) = a\bar{\varepsilon}_{33} \quad (25)$$

به طوری که  $\bar{\varepsilon}_{22}$  و  $\bar{\varepsilon}_{33}$  کرنش‌های نرمال متوسط، به ترتیب، در راستای محورهای  $x_2$  و  $x_3$  هستند و پارامتر  $a$  معرف پهنای مدل المان نماینده می‌باشد (شکل ۲). به منظور اعمال این شرایط، روش ضرایب لاغرانژ، که یک روش دقیق در اعمال شرایط مرزی ضروری می‌باشد، به کار گرفته شد.



شکل ۲ مدل هندسی و توزیع گره در المان نماینده حجمی با الیاف بیضوی

2- Symmetry and Periodicity  
3- Straight

ضرایب لاغرانژ [۱۸، ۱۷] می‌باشد. روش‌های دیگر اعمال شرط مرزی ضروری در روش‌های بدون المان، در مقاله فرناندر-مندرز و هرتا [۲۵] ارائه شده است. توابع شکل حداقل مربعت متحرک، به دلیل ماهیت برازشی<sup>۱</sup> حاکم بر آن‌ها، حساسیتی نسبت به تعداد گره درون دامنه موضعی ندارند. علاوه بر این، دقت و سرعت همگرایی بسیار بالا با تعداد گره کم، از مزایایی است که این توابع شکل به روش‌های عددی بدون المان وابسته به آن‌ها می‌باشند. از معایب این توابع شکل نیز، همان‌طور که قبل از گفته شد، فقدان خاصیت دلتای کرانیک است که در موضع اعمال شرایط مرزی ضروری اثر خود را آشکار می‌کند و با روش‌هایی همچون روش پتانسیلی و یا ضرایب لاغرانژ قابل برطرف کردن می‌باشد. دقت بالا و سرعت همگرایی بالا مزایایی هستند که می‌توانند اثر فقدان خاصیت دلتای کرانیک را در روش‌هایی همچون روش بدون المان گلرکین کم‌رنگ کنند.

### ۳-۲-۴- گسسته سازی معادلات حاکم

براساس روش بدون المان گلرکین، فرم تضعیف شده معادلات تعادل (۳) و (۴)، براساس ساختار توابع شکل حداقل مربعت متحرک تقریب‌زده می‌شوند. میدان جابه‌جایی تقریب‌زده شده به صورت رابطه (۱۶) ارائه می‌شود [۱۹].

$$u^h(x) = \begin{cases} u_2^h & \\ u_3^h & \end{cases} = \sum_{l=1}^n \begin{pmatrix} \phi_l & 0 \\ 0 & \phi_l \end{pmatrix} \begin{cases} u_{2l} \\ u_{3l} \end{cases} = \sum_{l=1}^n \tilde{\Phi}_l u_l \quad (16)$$

که در رابطه (۱۶)،  $(x)$  ماتریسی قطعی شامل تابع شکل گره  $I$ ام و  $u_l$  و  $u_h^h(x)$  به ترتیب، جابه‌جایی گره‌ها و جابه‌جایی تقریب‌زده شده در نقطه  $x$  را نشان می‌دهند. همچنین،  $n$  تعداد گره‌های درون ناحیه پشتیبان نقطه  $x$  است که در تقریب شرکت می‌کنند.

فرم گسسته شده معادله تعادل مکانیکی (۳) با در نظر گرفتن روابط مشکله و سینماتیک، به صورت رابطه (۱۷) نوشته می‌شود.

$$\begin{aligned} \sum_{l=1}^N \sum_{j=1}^N \delta u_l^T \left( \int_{\Omega} B_l^T C B_j d\Omega \right) u_j + \sum_{l=1}^N \delta u_l^T \left( \int_{\Omega} B_l^T \hat{C} d\Omega \right) \varepsilon_0 \\ - \sum_{l=1}^N \delta u_l^T \left( \int_{\Omega} B_l^T \hat{e} d\Omega \right) E_3 + \sum_{l=1}^N \delta \varepsilon_0 \left( \int_{\Omega} \hat{C}^T B_l d\Omega \right) u_l \\ + \delta \varepsilon_0 \left( \int_{\Omega} c_{11} d\Omega \right) \varepsilon_0 - \delta \varepsilon_0 \left( \int_{\Omega} e_{31} d\Omega \right) E_3 \\ - \sum_{l=1}^N \delta u_l^T \left( \int_{\Gamma_t} \tilde{\Phi}_l^T \bar{t} d\Gamma \right) - \delta \varepsilon_0 \left( \int_{\Omega} t_{\text{axial}} d\Omega \right) = 0 \end{aligned} \quad (17)$$

که  $N$  معرف تعداد کل گره‌های درون دامنه مسئله بوده و ماتریس  $B_l$  به صورت زیر تعریف می‌شود.

$$B_l = \begin{pmatrix} \phi_{l,2} & 0 \\ 0 & \phi_{l,3} \\ \phi_{l,3} & \phi_{l,2} \end{pmatrix} \quad (18)$$

رابطه (۱۷) در شکل فشرده به صورت رابطه (۱۹) بازنویسی می‌شود.

$$\delta U^T \left( KU + F_1 \varepsilon_0 - F_2 E_3 - f_t \right) + \delta \varepsilon_0 \left( F_1^T U + X_1 \varepsilon_0 - X_2 E_3 - f_{\text{axial}} \right) = 0 \quad (19)$$

که  $f_t$ ،  $F_1$ ،  $X_1$ ،  $F_2$ ،  $X_2$ ،  $K$ ،  $\varepsilon_0$  و  $E_3$  به مطابق زیر تعریف می‌شوند:

$$K_{ij} = \int_{\Omega} B_i^T C B_j d\Omega, \quad F_{1l} = \int_{\Omega} B_l^T \hat{C} d\Omega, \quad F_{2l} = \int_{\Omega} B_l^T \hat{e} d\Omega$$

$$X_1 = \int_{\Omega} c_{11} d\Omega, \quad X_2 = \int_{\Omega} e_{31} d\Omega, \quad f_{tl} = \int_{\Gamma_t} \tilde{\Phi}_l^T \bar{t} d\Gamma$$

$$f_{\text{axial}} = \int_{\Omega} t_{\text{axial}} d\Omega \quad (20)$$

1- Curve-Fitting

یکنواخت و منظمی از گره‌های محاسباتی انتخاب شده است. علاوه بر این، روش بدون المان گلرکین در آزمایش‌های عددی توانایی چشمگیری را در همگرایی مسأله براساس توزیع دلخواه و ناظم گره‌ها نشان می‌دهد. با این حال ایجاد یک توزیع منظم از گره‌ها به دقت مسأله بسیار کمک می‌کند؛ مخصوصاً هنگامی که مشتقات متغیر میدان، یعنی توزیع تنش و یا کرنش، مد نظر باشد.

روش بدون المان گلرکین بر اساس فرم تضعیف شده کلی<sup>۳</sup> به گسترش‌سازی معادلات می‌پردازد که برای حل انتگرال‌های موجود در مسأله، روش انتگرال گیری عددی گوس مربعی<sup>۴</sup> به کار گرفته شده است. بدین منظور، می‌باشد مجموعه‌ای از سلول‌های شبکه گوسی درون دامنه مسأله چیده شوند. درون هر سلول، بسته به مرتبه انتگرال گوسی انتخاب شده، نقاط انتگرال چیده می‌شوند. در این پژوهش، از انتگرال گوس مربعی مرتبه ۴۰ با ۱۶ نقطه گوسی درون هر سلول استفاده شده است. این نقاط گوسی، دقیقاً، از همان الگوی چینش گره‌ها پیروی می‌کنند. بنا به آزمایش‌های عددی لیو و همکارانش تعداد این نقاط گوسی می‌باشد حدود ۳ الی ۹ برابر تعداد گره‌ها موجود در دامنه باشد تا همگرایی مسأله تضمین شود [۱۹]. لازم به ذکر است که توزیع نقاط گوسی کاملاً مستقل از توزیع گره‌ها محاسباتی انجام می‌شود. نهایتاً، با حل دستگاه معادلات خطی (۲۸) با استفاده از روش حذفی گوس<sup>۵</sup>، مقادیر جایه‌جایی گره‌ها ( $U$ )، کرنش محوری ثابت ( $\epsilon_{ij}$ ) و میدان الکتریکی در راستای پولاریزاسیون ( $E_3$ ) محاسبه می‌شوند. لازم به ذکر است که تمامی مراحل برنامه نویسی، تحت زبان فرتون ۹۰ در سیستم عامل لینوکس انجام شده است.

#### ۴- نتایج و بحث

در این بخش، هدف بررسی خواص الکترو-الاستیک کامپوزیت‌های زمینه اپوکسی تقویت شده با الیاف بلند از جنس مواد پیزوالکتریک PZT-7A در حالت پولاریزاسیون عرضی است که بررسی این خواص در دو حالت الیاف با سطح مقطع دایروی و بیضوی با نسبت تناسب ۰/۵ انجام شده است. لازم به ذکر است که برای الیاف دایروی با ارایش منظم مربعی حداکثر کسر حجمی قابل دسترس حدود ۷۸/۵٪ می‌باشد که این مقدار برای الیاف بیضوی با نسبت تناسب ۰/۵، حدود ۳۹٪ است.

جزئیات اجزای تشکیل دهنده کامپوزیت در جدول ۱ لیست شده است که همان‌طور که ملاحظه می‌گردد، اپوکسی از لحاظ پیزوالکتریکی خنثی می‌باشد. برای یکپارچه‌سازی در مقایسه نتایج، از شکل نرم‌افزار نرم‌افزار ضایعات الکترو-الاستیک، مطابق روابط (۳۰) استفاده می‌شود.

$$e_{ij}^* = \frac{e_{ij}}{e_{ij}^P}, \quad C_{ij}^* = \frac{C_{ij}}{C_{ij}^P}, \quad \kappa_{33}^* = \frac{\kappa_{33}}{\kappa_0} \quad (30)$$

که  $\kappa_0$ ، معرف ثابت گذردهی الکتریکی خالٰی می‌باشد و برابر  $8.85 \times 10^{-12} \text{ F/m}$  تعریف شده است [۲۷]. همچنین اندیس بالانویس  $p$ ، نمایانگر خصوصیت مرتبط با ماده پیزوالکتریک خالص می‌باشد.

همان‌طور که ملاحظه می‌شود پیش‌بینی حاضر در مورد ضایعات پیزوالکتریکی مؤثر کامپوزیت با الیاف دایروی، موافق خوبی را با مدل‌های ارائه شده توسط مالیک و ری [۴] در شکل‌های ۳ تا ۵ نشان می‌دهد. لازم به ذکر است که برای این پیش‌بینی، آن‌ها از دو مدل میکرومکانیکی، برپایه روش مقاومت مصالح و روش سلولی، استفاده کردند.

جدول ۱ خواص الکترو-الاستیک اجزای کامپوزیت پیزوالکتریکی اپوکسی/PZT-7A [۴]

	ثوابت ماده	PZT-7A	اپوکسی
$C_{11}, C_{22}$ (GPa)	۱۴۸	۳/۸۶	
$C_{12}$ (GPa)	۷۶/۲	۲/۵۷	
$C_{13}, C_{23}$ (GPa)	۷۴/۲	۲/۵۷	
$C_{33}$ (GPa)	۱۳۱	۳/۸۶	
$C_{44}, C_{55}$ (GPa)	۲۵/۴	۰/۶۴	
$C_{66}$ (GPa)	۳۵/۹	۰/۶۴	
$e_{31}, e_{32}$ (C/m <sup>2</sup> )	-۲/۱	۰	
$e_{33}$ (C/m <sup>2</sup> )	۹/۵	۰	
$\kappa_{33} \times 10^9$ (F/m)	۲/۰۷	۰/۰۷۹	

در خصوص مرز مشترک فایبر-ماتریس، فرض اتصال کامل<sup>۱</sup> برقرار می‌باشد که برای اعمال این شرط مرزی، از روش پنالتی<sup>۲</sup> که جزئیات و مراحل آن توسط لیو و یانگ در سال ۱۹۹۹ میلادی ارائه شد، استفاده شده است [۲۴]. برای اعمال شرایط پیوستگی، در ابتدا، یک محیط غیرهمگن که از دو ماده همگن تشکیل شده است در نظر گرفته می‌شود و روی مرز دو جسم همگن، مجموعه‌ای از گره‌ها تعريف می‌شود. برای دامنه‌های محلی، نقاطی که درون جسم A قرار گرفته‌اند، منحصر تحت تأثیر گره‌های درون جسم A و گره‌های روی مرز مشترک هستند. ارتباط بین ناحیه‌های مختلف با اعمال شرایط پیوستگی ایجاد می‌شود. اگر مرز دو ناحیه با<sup>۳</sup> معرفی شود، شرایط پیوستگی مطابق رابطه (۲۶)، روی مرز اعمال می‌شود.

$$u^f = u^m \quad (26)$$

که در رابطه (۲۶)،  $u^f$  و  $u^m$ ، به ترتیب، پارامتر جایه‌جایی الیاف و ماتریس برای نقاط روی مرز هستند. فرم فانکشنال مرتبط با این شرط مرزی به صورت رابطه (۲۷) ارائه می‌شود [۲۴].

$$\frac{1}{2} \int_{\Gamma_c} (u^f - u^m)^T \alpha (u^f - u^m) d\Gamma \quad (27)$$

که  $\alpha$  یک ماتریس قطری از ضایعات پنالتی بوده و در مسائل دو بعدی از مرتبه ۲ می‌باشد. با اعمال فرم تضعیف شده فانکشنال (۲۷) به رابطه (۳)، اثر این شرط مرزی به صورت رابطه (۲۸) در معادله اول دستگاه معادلات (۲۴) گنجانده می‌شود.

$$(K + K^*)U + F_1 \epsilon_0 - F_2 E_3 - f_t = 0 \quad (28)$$

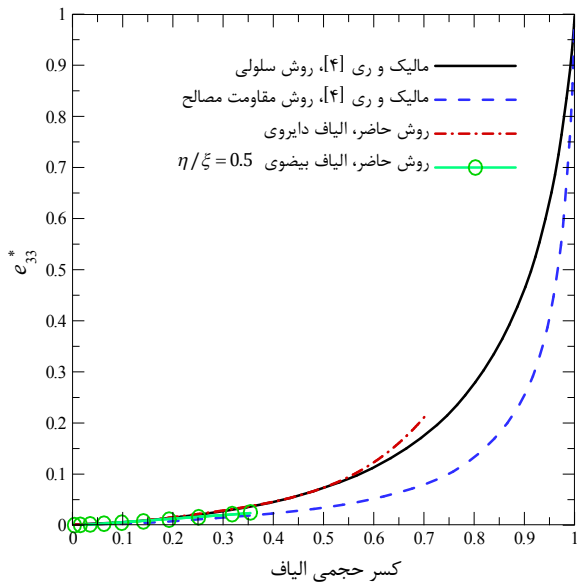
که  $K^*$  ماتریسی است که شرط مرزی اتصال کامل الیاف و زمینه را برقرار می‌کند و به صورت رابطه (۲۹) ارائه می‌شود [۲۴].

$$K_{ij}^* = \int_{\Gamma_c} [\tilde{\Phi}_i^m - \tilde{\Phi}_i^f]^T \alpha [\tilde{\Phi}_j^m - \tilde{\Phi}_j^f] d\Gamma \quad I, J = 1, \dots, N \quad (29)$$

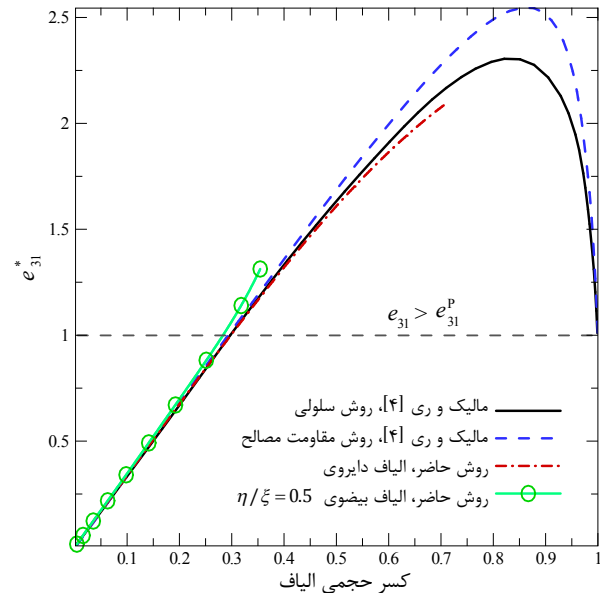
در رابطه (۲۹) و  $\tilde{\Phi}_i^f$ ،  $\tilde{\Phi}_i^m$ ، ماتریس‌هایی قطری ازتابع شکل حداقل مربعات متحرک گره I، برای فایبر و ماتریس می‌باشند. به جز گره‌های روی مرز مشترک که ناحیه تأثیر آن‌ها هر دو فاز الیاف و زمینه را در بر می‌گیرد، گره‌های درون ماتریس بر نقاط درون ماتریس و گره‌های درون فایبر بر گره‌های درون فایبر تأثیرگذار خواهند بود.

۴-۲-۳- توزیع گره‌ها و نقاط انتگرال گیری در دامنه مسأله در مدل حاضر از یک توزیع شعاعی برای گره‌های محاسباتی درون دامنه مسأله استفاده شده است. همان‌طور که در شکل ۲ ملاحظه می‌شود، توزیع

1- Perfectly or Fully Bounded  
2- Penalty Method



شکل ۵ تغییرات ضریب پیزوالکتریکی نرمالیزه شده  $e_{33}^*$  کامپوزیت پیزوالکتریکی الیافی نسبت به کسر حجمی الیاف در حالت پولاریزاسیون عرضی



شکل ۶ تغییرات ضریب پیزوالکتریکی نرمالیزه شده  $e_{31}^*$  کامپوزیت پیزوالکتریکی الیافی نسبت به کسر حجمی الیاف در حالت پولاریزاسیون عرضی

شکل ۴ تغییرات ضریب پیزوالکتریکی نرمالیزه شده  $e_{32}^*$  کامپوزیت پیزوالکتریکی الیافی را نسبت به کسر حجمی الیاف نشان می‌دهد. همان‌طور که ملاحظه می‌شود، به دلیل فرضیات ساده شونده موجود در مدل مقاومت مصالح [۴]، این مدل اختلاف بسیار زیادی را با مدل سلولی [۴] نشان می‌دهد. می‌توان ملاحظه کرد که پیش‌بینی حاضر در حالت الیاف دایروی، به دلیل این که اثرات موضعی میدان‌های تنش در آن لحاظ شده است، رفتار بسیار نزدیکتری را با روش سلولی نشان می‌دهد؛ چرا که در ماهیت روش سلولی نیز سلول واحد، به چند زیر بخش تقسیم می‌شود و مسأله جزئی‌تر مورد بررسی قرار می‌گیرد.

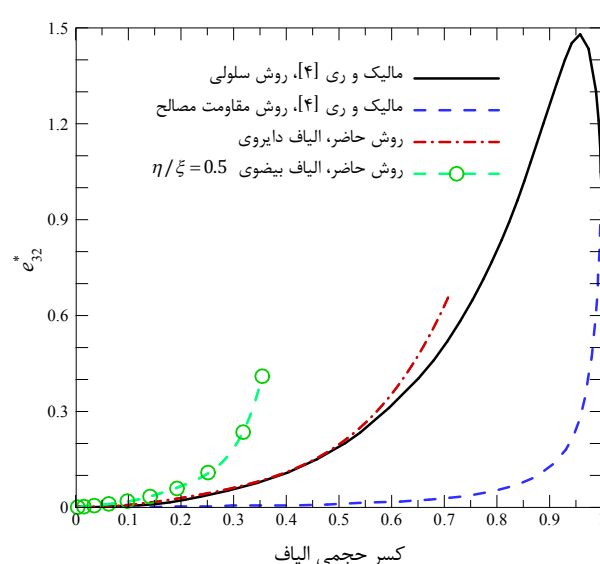
تغییرات ضریب پیزوالکتریکی نرمالیزه شده  $e_{33}^*$  در شکل ۵ نشان داده شده است. همان‌طور که در این شکل نیز دیده می‌شود، پیش‌بینی حاضر برای کامپوزیت‌های پیزوالکتریکی الیافی که از الیاف دایروی تشکیل شده‌اند، موافقت بهتری را با روش سلولی نشان می‌دهد.

نتایج حاصل از پیش‌بینی حاضر، حاکی از این موضوع است که ضرایب پیزوالکتریکی نرمالیزه شده  $e_{31}^*$  و  $e_{33}^*$  تا حدود  $35\%$  نسبت به تغییر شکل حساسیتی اندکی از خود نشان می‌دهند، (شکل‌های ۳ و ۵). این در حالی است که  $e_{32}^*$  به شدت وابسته به شکل الیاف می‌باشد؛ به طوری که مقدار این ضریب در کسر حجمی  $35\%$ ، برای الیاف بیضوی حدود  $4/5$  برابر الیاف دایروی است.

شکل ۶ تغییرات ضریب دی‌الکتریک نرمالیزه شده  $e_{33}^*$  را نسبت به کسر حجمی الیاف نشان می‌دهد. مقایسه نتایج حاضر با نتایج مدل‌های ارائه شده در [۴] روند صحیحی را نشان می‌دهد با این حال، اختلاف‌های اندکی نیز قابل مشاهده است. علاوه بر این، همان‌طور که ملاحظه می‌گردد، اثر تغییر

شكل الیاف بر رفتار ضریب دی‌الکتریک مؤثر  $\kappa$  تقریباً بی‌اثر می‌باشد.

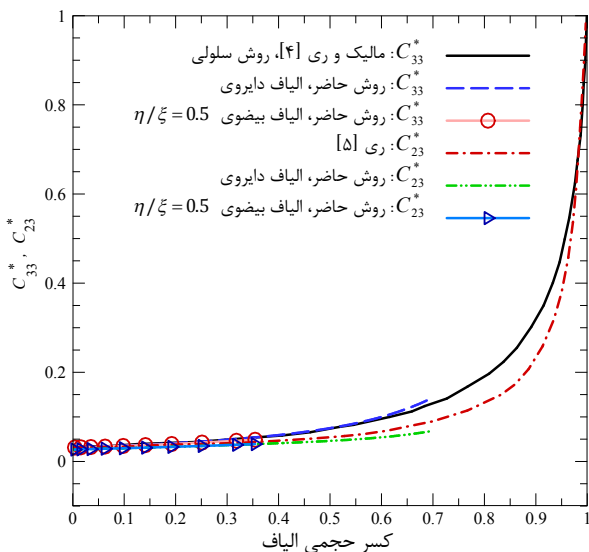
شکل ۷ تغییرات ضریب الاستیک نرمالیزه شده  $C_{11}^*$  کامپوزیت را در حالت پولاریزاسیون عرضی نشان می‌دهد. موافقت بسیار خوبی بین نتایج پیش‌بینی حاضر با مدل‌های ارائه شده در [۴] دیده می‌شود. همان‌طور که ملاحظه می‌شود، این تغییر شکل الیاف بر رفتار این ضریب، که ارتباط بین تنش محوری و کرنش محوری را برقار می‌کند، تأثیر نخواهد گذاشت.



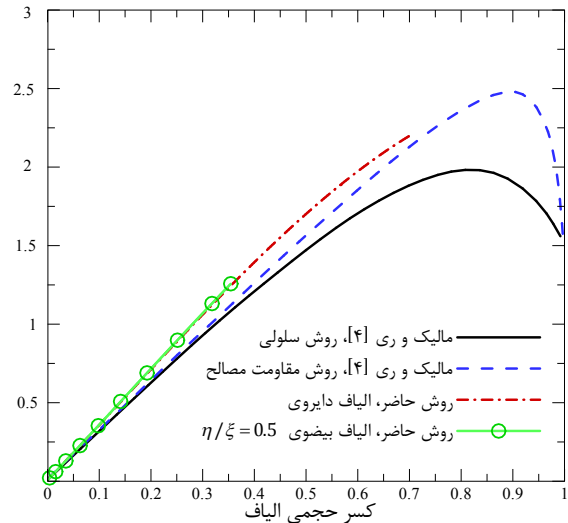
شکل ۷ تغییرات ضریب پیزوالکتریکی نرمالیزه شده  $C_{11}^*$  کامپوزیت پیزوالکتریکی الیافی نسبت به کسر حجمی الیاف در حالت پولاریزاسیون عرضی

در کامپوزیت‌های پیزوالکتریکی الیافی که راستای پولاریزاسیون آن‌ها عمود بر راستای الیاف باشد، خواصی متفاوت قبل مساحده است؛ به طوری که منحنی ضریب مؤثر پیزوالکتریکی  $e_{31}^*$  به گونه‌ای است که اگر کسر حجمی الیاف از یک میزان مشخص افزایش یابد، مقدار این ضریب به طور قابل ملاحظه‌ای افزایش می‌یابد؛ تا آن‌جا که ضریب پیزوالکتریکی مؤثر فوق الذکر برای کامپوزیت با الیاف دایروی، تا چند برابر همان ضریب در ماده پیزوالکتریک خالص پیش می‌رود، (شکل ۳).

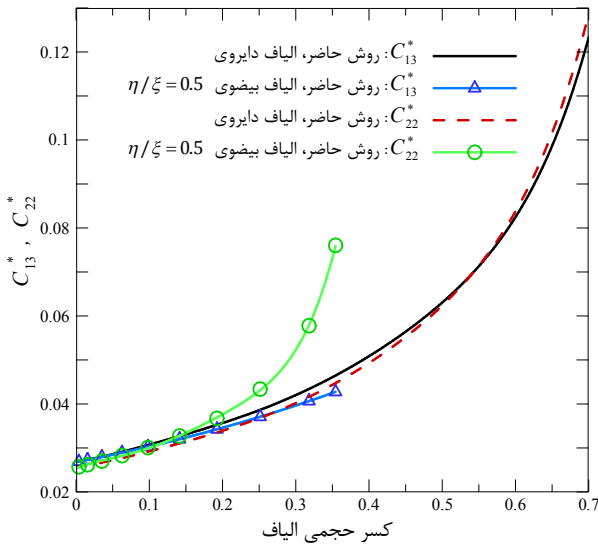
از آن‌جا که ضرایب پیزوالکتریکی، در واقع، به عنوان واسطه تنش‌های مکانیکی و میدان الکتریکی هستند، تقویت آن‌ها، کنترل پذیری عملگرها و سنسورها را افزایش خواهد داد. لذا، همان‌طور که ملاحظه می‌شود، در حالت پولاریزاسیون عرضی که میدان الکتریکی در راستای ضخامت کامپوزیت برقرار است، ضرایب پیزوالکتریکی مؤثر  $e_{31}^*$  کامپوزیت با الیاف دایروی در کسر حجمی  $70\%$  تا حدود دو برابر حالت خالص رشد می‌کند، (شکل ۳).



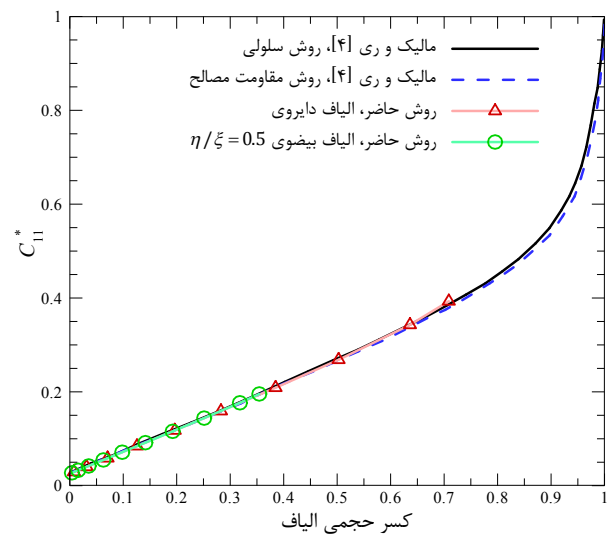
شکل ۹ تغییرات ضرایب الستیک نرمالیزه شده  $C_{33}^*$  و  $C_{23}^*$  کامپوزیت پیزوالکتریکی  
الیافی نسبت به کسر حجمی الیاف در حالت پولاریزاسیون عرضی



شکل ۶ تغییرات ضریب دی الکتریکی نرمالیزه شده  $C_{33}^*$  کامپوزیت پیزوالکتریکی  
الیافی نسبت به کسر حجمی الیاف در حالت پولاریزاسیون عرضی



شکل ۱۰ تغییرات ضرایب الستیک نرمالیزه شده  $C_{13}^*$  و  $C_{22}^*$  کامپوزیت پیزوالکتریکی  
الیافی نسبت به کسر حجمی الیاف در حالت پولاریزاسیون عرضی

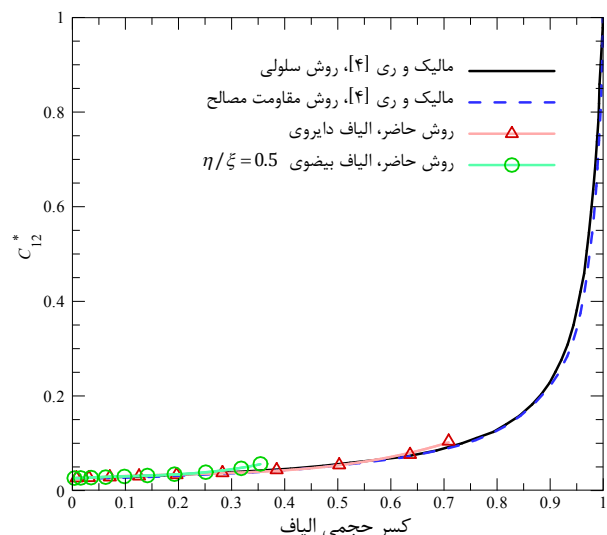


شکل ۷ تغییرات ضریب الستیک نرمالیزه شده  $C_{11}^*$  کامپوزیت پیزوالکتریکی الیافی  
نسبت به کسر حجمی الیاف در حالت پولاریزاسیون عرضی

شکل ۸ رفتار ضریب الستیک نرمالیزه شده  $C_{12}^*$  کامپوزیت را نسبت به کسر  
حجمی الیاف پیزوالکتریکی ترسیم می‌کند. همان‌طور که ملاحظه می‌شود،  
این ضریب براساس تمامی مدل‌های ارائه شده در [۴] و پیش‌بینی حاضر، در  
ابتدا با افزایش کسر حجمی، تغییر ناچیزی از خود به نمایش می‌گذارد و به  
عبارتی، در کسر حجمی‌های پایین، تغییر شکل الیاف بر رفتار این  
زمینه، حساسیتی نشان نمی‌دهد. علاوه بر این، تغییر شکل الیاف بر رفتار این  
ضریب تا کسر حجمی ۳۵٪ تأثیر گذاری اندکی را نشان می‌دهد.

در شکل ۹ منحنی تغییرات ضرایب الستیک نرمالیزه شده  $C_{23}^*$  و  $C_{33}^*$   
نسبت به کسر حجمی الیاف مشاهده می‌شود. این ضرایب، نسبت به میزان  
کسر حجمی الیاف پیزوالکتریک، از رفتار مشابه با ضریب  $C_{12}^*$  برخوردار  
هستند؛ به گونه‌ای که پیش‌بینی‌ها حاکی از این است که شکل الیاف تأثیر  
ناچیزی بر رفتار این ضرایب خواهد گذاشت.

شکل ۱۰ تغییرات ثوابت الستیک مؤثر نرمالیزه شده  $C_{13}^*$  و  $C_{22}^*$   
کامپوزیت پیزوالکتریکی الیافی را نسبت به کسر حجمی الیاف ترسیم می‌کند.



شکل ۸ تغییرات ضریب الستیک نرمالیزه شده  $C_{12}^*$  کامپوزیت پیزوالکتریکی الیافی  
نسبت به کسر حجمی الیاف در حالت پولاریزاسیون عرضی

علامیه یونانی	
بردار توابع شکل	$\Phi(x)$
تنش محوری	$\sigma_{\text{axial}}$
ضریب دیالکتریک	$\kappa_{33}$
کرنش ثابت محوری	$\varepsilon_0$
مؤلفه‌های تانسور تنش	$\sigma_{ij}$
مؤلفه‌های تانسور کرنش	$\varepsilon_{ij}$
نصف قطر بزرگ بیضی	$\zeta$
نصف قطر کوچک بیضی	$\eta$
بالاترین‌ها	
شكل بی بعد شده	*
ماده پیزوالکتریک خالص	p

## ۷- مراجع

- [1] A. Safari, Development of piezoelectric composites for transducers, *J. Phys. III France*, Vol. 4, No. 7, pp. 1129-1149, 1994.
- [2] G. M. Odegard, Constitutive modeling of piezoelectric polymer composites, *Acta Materialia*, Vol. 52, No. 18, pp. 5315-5330, 10/18/, 2004.
- [3] R. Kar-Gupta, T. A. Venkatesh, Electromechanical response of 1-3 piezoelectric composites: An analytical model, *Acta Materialia*, Vol. 55, No. 3, pp. 1093-1108, 2//, 2007.
- [4] N. Mallik, M. C. Ray, Effective Coefficients of Piezoelectric Fiber-Reinforced Composites, *AIAA Journal*, Vol. 41, No. 4, pp. 704-710, 2003/04/01, 2003.
- [5] M. Ray, Micromechanics of piezoelectric composites with improved effective piezoelectric constant, *International Journal of Mechanics and Materials in Design*, Vol. 3, No. 4, pp. 361-371, 2006/12/01, 2006. English
- [6] A. Kumar, D. Chakraborty, Effective properties of thermo-electromechanically coupled piezoelectric fiber reinforced composites, *Materials & Design*, Vol. 30, No. 4, pp. 1216-1222, 4//, 2009.
- [7] E. López-López, F. J. Sabina, R. Guinovart-Díaz, J. Bravo-Castillero, R. Rodríguez-Ramos, Effective permittivity of a fiber-reinforced composite with transversely isotropic constituents, *Journal of Electrostatics*, Vol. 71, No. 4, pp. 791-800, 8//, 2013.
- [8] R. Kar-Gupta, C. Marcheselli, T. A. Venkatesh, Electromechanical response of 1-3 piezoelectric composites: Effect of fiber shape, *Journal of Applied Physics*, Vol. 104, No. 2, pp. 024105-024105-17, 2008.
- [9] R. Kar-Gupta, T. A. Venkatesh, Electromechanical response of piezoelectric composites: Effects of geometric connectivity and grain size, *Acta Materialia*, Vol. 56, No. 15, pp. 3810-3823, 9//, 2008.
- [10] Z. Li, C. Wang, C. Chen, Effective electromechanical properties of transversely isotropic piezoelectric ceramics with microvoids, *Computational Materials Science*, Vol. 27, No. 3, pp. 381-392, 5//, 2003.
- [11] Q. Dai, K. Ng, Investigation of electromechanical properties of piezoelectric structural fiber composites with micromechanics analysis and finite element modeling, *Mechanics of Materials*, Vol. 53, No. 0, pp. 29-46, 10//, 2012.
- [12] C.-P. Wu, K.-H. Chiu, R.-Y. Jiang, A meshless collocation method for the coupled analysis of functionally graded piezo-thermo-elastic shells and plates under thermal loads, *International Journal of Engineering Science*, Vol. 56, No. 0, pp. 29-48, 7//, 2012.
- [13] B. Dai, B. Zheng, Q. Liang, L. Wang, Numerical solution of transient heat conduction problems using improved meshless local Petrov-Galerkin method, *Applied Mathematics and Computation*, Vol. 219, No. 19, pp. 10044-10052, 6/1, 2013.
- [14] I. Ahmadi, N. Sheikhy, M. M. Aghdam, S. S. Nourazar, A new local meshless method for steady-state heat conduction in heterogeneous materials, *Engineering Analysis with Boundary Elements*, Vol. 34, No. 12, pp. 1105-1112, 12//, 2010.
- [15] I. Ahmadi, M. M. Aghdam, Micromechanics of fibrous composites subjected to combined shear and thermal loading using a truly meshless method, *Computational Mechanics*, Vol. 46, No. 3, pp. 387-398, 2010/08/01, 2010. English
- [16] I. Ahmadi, M. M. Aghdam, A truly generalized plane strain meshless method for combined normal and shear loading of fibrous composites, *Engineering Analysis with Boundary Elements*, Vol. 35, No. 3, pp. 395-403, 3//, 2011.

همان‌طور که ملاحظه می‌شود، منحنی تغییرات  $C_{13}^*$  در مورد شکل بیضوی الیاف اندکی نسبت به الیاف دایروی از خود انحراف نشان می‌دهد. این در حالی است که پیش‌بینی‌ها بیان می‌کنند که ضریب نرمالیزه شده  $C_{22}^*$  وابسته به شکل الیاف می‌باشد؛ بهطوری که در کسر حجمی ۳۵٪/ مقدار این ضریب برای الیاف بیضوی ۱/۷۲ برابر الیاف دایروی می‌باشد.

## ۵- جمع‌بندی و نتیجه‌گیری

در پژوهش حاضر مطابق با رویکرد تحلیل میکرومکانیکی مواد مرکب، یک المان نماینده حجمی مناسب از کامپوزیت پیزوالکتریکی الیافی تک جهته، مطابق با شرایط بارگذاری مسئله انتخاب شد. آرایش مربعی از الیاف برای این المان نماینده در نظر گرفته شد و نهایتاً به دلیل این که شرایط بارگذاری نرمال در این مسئله مدنظر بود، از مدل ۱/۴ سلول واحد به دلیل تقارن هندسی استفاده گردید. در این سلول واحد، سرامیک‌های پیزوالکتریک با خواص ایزوتropیک عرضی به شکل الیاف طویل و به صورت موازی و منظم، درون محیطی از اپوکسی با خواص ایزوتropیک جای داده شدند و فرض شد که اتصال کامل بین الیاف و ماتریس برقرار است.

به منظور آنالیز و تحلیل این مسئله، از روش عددی بدون المان گلرکین استفاده شد. در این روش عددی با در نظر گرفتن اثرات میدان‌های موضعی تنش و کرنش اجزای تشکیل‌دهنده کامپوزیت، پیش‌بینی‌های از خواص الکترو-الاستیک کامپوزیت‌های پیزوالکتریکی الیافی با پولاریزاسیون عرضی راشه شد که در موافقت مناسبی با کارهای پیشین بودند.

نتایج حاکی از این موضوع است که هنگامی که میدان الکتریکی در راستای ضخامت کامپوزیت ثابت نگه داشته می‌شود، مقدار ضریب پیزوالکتریکی مؤثر  $e_{31}$  برای کامپوزیت پیزوالکتریکی که کسر حجمی الیاف آن از حدود ۳۰٪ فراتر می‌رود، از مقدار همان ضریب در حالت ماده خالص بیشتر می‌شود.

بررسی‌های انجام شده در خصوص تأثیر شکل فایبر بر نوع رفتار ضرایب الکترو-الاستیک نشان داد که در حالی که این تغییر شکل بر ضرایب مرتبط با راستاهای محوری تأثیر چندانی نمی‌گذارد اما می‌تواند ضرایب پیزوالکتریک و الاستیک مرتبط با راستای عرضی را تا حد مطلوبی تقویت کند؛ به گونه‌ای که ضریب الاستیک نرمالیزه شده  $C_{22}^*$  و ضریب پیزوالکتریکی نرمالیزه شده  $e_{32}^*$  به ترتیب، در مورد الیاف بیضوی تا حدود ۱/۷۲ و ۴/۵ برابر الیاف دایروی می‌باشد.

## ۶- فهرست علائم

a	اندازه ضلع سلول واحد مربعی
$c_{ij}$	ضرایب الاستیک
$e_{ij}$	ضرایب پیزوالکتریکی
$E_3$	میدان الکتریکی در راستای پولاریزاسیون
$D_3$	جابه‌جایی الکتریکی در راستای پولاریزاسیون
$q_3$	دانسیته بارالکتریکی در راستای پولاریزاسیون
$r_w$	شعاع ناحیه موضعی
$\hat{w}$	تابع وزنی
N	تعداد کل گره‌های دامنه
$t_{\text{axial}}$	ترکش محوری
$\bar{t}$	بردار ترکش درون-صفحه‌ای
$x_i$	محورهای مختصات
$u_i$	مؤلفه‌های جابه‌جایی

- [23] S. Alkoy, C. Gol, Preparation of solid and hollow piezoelectric ceramic fibers and springs using a novel alginate gelation method, in *Proceeding of 1711-1714.*
- [24] G. R. Liu, *Mesh free methods : moving beyond the finite element method*, United States of America: CRC Press LLC, 2003.
- [25] S. Fernández-Méndez, A. Huerta, Imposing essential boundary conditions in mesh-free methods, *Computer Methods in Applied Mechanics and Engineering*, Vol. 193, No. 12-14, pp. 1257-1275, 3/26/, 2004.
- [26] M. M. Aghdam, M. J. Pavier, D. J. Smith, Micro-mechanics of off-axis loading of metal matrix composites using finite element analysis, *International Journal of Solids and Structures*, Vol. 38, No. 22-23, pp. 3905-3925, 5//, 2001.
- [27] IEEE Standard on Piezoelectricity, *ANSI/IEEE Std 176-1987*, pp. 0\_1, 1988.
- [17] T. Belytschko, Y. Y. Lu, L. Gu, Element-free Galerkin methods, *International Journal for Numerical Methods in Engineering*, Vol. 37, No. 2, pp. 229-256, 1994.
- [18] J. Dolbow, T. Belytschko, An introduction to programming the meshless Element FreeGalerkin method, *Archives of Computational Methods in Engineering*, Vol. 5, No. 3, pp. 207-241, 1998/09/01, 1998. English
- [19] G. R. Liu, Y. T. Gu, *An Introduction to Meshfree Methods and Their Programming*: Springer London, Limited, 2005.
- [20] M. Bayat, M. M. Aghdam, A micromechanics-based analysis of effects of square and hexagonal fiber arrays in fibrous composites using DQEM, *European Journal of Mechanics - A/Solids*, Vol. 32, No. 0, pp. 32-40, 3//, 2012.
- [21] M. Bayat, M. M. Aghdam, A micromechanics based analysis of hollow fiber composites using DQEM, *Composites Part B: Engineering*, Vol. 43, No. 8, pp. 2921-2929, 12//, 2012.
- [22] T. H. Brockmann, *Theory of Adaptive Fiber Composites*: Springer, 2009.